



## Investigation of Genetic Diversity in *Fusarium* of *Elegans* and *Martiella-Ventricosum* Sections related to Cucurbits using ISSR markers in Tehran province

Forood Ali Khazaee 

Ph.D. Student, Department of Plant Protection, Faculty of Agriculture and Natural Resources, Lorestan University, Khorramabad, Iran. E-mail address: fkhazaii63@gmail.com

Mostafa Darvishnia 

\*Corresponding author. Professor, Department of Plant Protection, Faculty of Agriculture and Natural Resources, Lorestan University, Khorramabad, Iran. E-mail address: darvishnia.m@lu.ac.ir

Eidi Bazgir

Assistant Professor, Department of Plant Protection, Faculty of Agriculture and Natural Resources, Lorestan University, Khorramabad, Iran. E-mail address: bazgir.ei@lu.ac.ir

---

### Abstract

#### Objective

This research aimed to identify *Fusarium*s belonging to *Elegans* and *Martiella-Ventricosum* sections related to cucurbit plants in Tehran province and to evaluate the ability of ISSR markers to investigate the kinship relationships of these groups of *Fusarium*s.

#### Materials and methods

In this research, five ISSR primers (AG)<sub>8</sub>C, (AG)<sub>8</sub>G, (AC)<sub>8</sub>YA, (ATG)<sub>6</sub> and BHB(GA)<sub>7</sub> were selected. Fungal isolates identified based on morphological and microscopic characteristics. For ISSR markers, the statistics of polymorphism information content (PIC), Marker Index (MI) and Effective Multiplex Ratio (EMR) were calculated. Relationships and similarity between *Fusarium* isolates were analyzed using NTSYS-PC V2.02.

#### Results

Out of 96 *Fusarium* isolates, 48 isolates were identified as *Fusarium solani*, 25 isolates as *Fusarium oxysporum* and 23 isolates as *Fusarium redolens*. A total of 408 bands were obtained

from ISSR amplifications. 130 different bands were produced, of which 83 were polymorphic and 47 were monomorphic. The size of PCR fragments produced varied from 273 to 2428 bp. The polymorphism percentage, ranged from the highest (73%) for (ATG)<sub>6</sub> to the lowest (56%) for (AG)<sub>8</sub>C. Primers (ATG)<sub>6</sub> and BHB(GA)<sub>7</sub> performed better in differentiation *Elegans* and *Martiella-Ventricosum* sections from each other. Primers (AG)<sub>8</sub>C with 26 gene loci, and BHB(GA)<sub>7</sub> with 25 gene loci, produced the most bands in *Elegans* isolates and *Martiella-Ventricosum* isolates, respectively.

### **Conclusions**

The results of this research showed that there was a high genetic diversity among the investigated *Fusarium* isolates and that the ISSR markers are efficient markers to reveal the molecular relationships between *Fusarium* populations.

**Keywords:** Cucurbits, Fusarium, ISSR marker, *Elegans*, *Martiella-Ventricosum*

**Paper Type:** Research Paper.

**Citation:** Khazaee FA, Darvishnia M, Bazgir E (2023) Investigation of Genetic Diversity in *Fusarium* of *Elegans* and *Martiella-Ventricosum* Sections related to Cucurbits using ISSR markers in Tehran province. *Agricultural Biotechnology Journal* 15 (1), 125-144.

---

*Agricultural Biotechnology Journal* 15 (1), 125-144. DOI: 10.22103/jab.2023.19915.1418

Received: December 11, 2022.

Received in revised form: February 07, 2023.

Accepted: February 08, 2023.

Published online: February 18, 2023.

Publisher: Faculty of Agriculture and Technology Institute of Plant Production, Shahid Bahonar University of Kerman-Iranian Biotechnology Society.

© the authors





## بررسی تنوع ژنتیکی فوزاریوم‌های بخش *Martiella-Ventricosum* و *Elegans* مرتبط با کدوییان با استفاده از نشانگرهای ISSR در استان تهران

**ID** فرودعلی خزایی

دانشجوی دکتری بیماری شناسی گیاهی، گروه گیاه پزشکی، دانشکده کشاورزی و منابع طبیعی، دانشگاه لرستان، خرم‌آباد، ایران.

رایانامه: fkhazaii63@gmail.com

**ID** مصطفی درویش‌نیا

\*نویسنده مسئول: استاد، گروه گیاه پزشکی، دانشکده کشاورزی و منابع طبیعی، دانشگاه لرستان، خرم‌آباد، ایران. رایانامه:

Darvishnia.m@lu.ac.ir

عیدی بازگیر

دانشیار، گروه گیاه پزشکی، دانشکده کشاورزی و منابع طبیعی، دانشگاه لرستان، خرم‌آباد، ایران. رایانامه: bazgir.ei@lu.ac.ir

تاریخ دریافت: ۱۴۰۱/۰۹/۲۰ تاریخ دریافت فایل اصلاح شده نهایی: ۱۴۰۱/۱۱/۱۸ تاریخ پذیرش: ۱۴۰۱/۱۱/۱۹

---

### چکیده

**هدف:** هدف از این تحقیق شناسایی فوزاریوم‌های بخش‌های *Martiella-Ventricosum* و *Elegans* مرتبط با گیاهان تیره کدوئیان در استان تهران و ارزیابی توانایی نشانگرهای ISSR در بررسی روابط خویشاوندی این گروه از فوزاریوم‌ها بود.

**مواد و روش‌ها:** در این پژوهش تعداد پنج آغازگر<sub>6</sub> (ATG), (AC)<sub>8</sub>YA, (AG)<sub>8</sub>C, (AG)<sub>8</sub>G و BHB(GA)<sub>7</sub> که بر اساس مطالعات محققین مختلف، در تمایز نژادهای مختلف فوزاریوم، کارایی خوبی از خود نشان‌داده بودند، جهت انجام این آزمایش‌ها انتخاب شد. جدایه‌های قارچی پس از جداسازی و خالص‌سازی بر اساس خصوصیات ریخت‌شناسی و میکروسکوپی مورد شناسایی قرار گرفتند. جهت بررسی میزان کارایی نشانگرها در بروز چندشکلی، آماره‌های محتوای اطلاعات چندشکلی آغازگرها مؤثر (EMR) Effective Multiplex Ratio با استفاده از نرم‌افزار NTSYS محاسبه شد. روابط داخل گونه‌های *Fusarium* با استفاده از نرم‌افزار PC V2.02 و ضریب تشابه SM و ترسیم دندوگرام به روش UPGMA مورد تجزیه و تحلیل قرار گرفت.

**نتایج:** از مجموع ۹۶ جدایه قارچی، تعداد ۴۸ جدایه به عنوان *Fusarium solani*, *Fusarium redolens* تشخیص داده شدند. تمامی پنج آغازگر ISSR در طول ۲۳ جدایه به عنوان *oxysporum* مورد تجزیه و تحلیل قرار گرفت.

آزمایشات PCR، باندهایی پایدار و قابل تکرار تولید کردند. از تکثیرهای ISSR مجموعاً ۴۰۸ باند به دست آمد. تعداد ۱۳۰ نوع باند متفاوت تولید شد که از این تعداد، ۸۳ باند پلی‌مورفیک و ۴۷ باند مونومورفیک بود. اندازه‌ی قطعات PCR تولید شده از ۲۷۳ تا ۲۴۲۸ جفت‌باز متغیر بود. درصد چندشکلی به دست آمده از بیشترین (۷۳ درصد) برای UBC-864 تا کمترین (۵۶ درصد) برای *Martiella-Ventricosum* و *Elegans* UBC-808 متغیر بود. آغازگرهای *(ATG)<sub>6</sub>* و *(GA)<sub>7</sub>* در تفکیک بخش‌های BHB(GA) در *Martiella-Ventricosum* با تولید ۲۶ جایگاه ژنی بیشترین تولید باند را در جدایه‌های از همدیگر عملکرد بهتری داشتند. آغازگر *(AG)<sub>8C</sub>* با تولید ۲۵ باند بیشترین تولید باند را در مورد جدایه‌های بخش *Elegans* و آغازگر *(BHB(GA)<sub>7</sub>)* با تولید ۲۵ باند بیشترین تولید باند را در جدایه‌های بخش *Martiella-Ventricosum* داشت.

**نتیجه‌گیری:** نتایج این تحقیق نشان داد که نشانگر ISSR یک نشانگر کارآمد جهت آشکارسازی روابط مولکولی بین توده‌ها و جدایه‌های قارچ فوزاریوم می‌باشد.

**کلیدواژه‌ها:** فوزاریوم، کدوییان، نشانگر ISSR، *Martiella-Ventricosum*, *Elegans*

**نوع مقاله:** پژوهشی.

**استناد:** خزایی فرودعلی، درویش‌نیا مصطفی، بازگیر عیدی (۱۴۰۱) بررسی تنوع ژنتیکی فوزاریوم‌های بخش *Elegans* و *Martiella-Ventricosum* مرتبط با کدوییان با استفاده از نشانگرهای ISSR در استان تهران. مجله بیوتکنولوژی کشاورزی، ۱۴۰۲-۱۴۴، (۱)، ۱۵-۱۲۵.

Publisher: Faculty of Agriculture and Technology Institute of Plant Production, Shahid Bahonar University of Kerman-Iranian Biotechnology Society.

© the authors



#### مقدمه

گیاهان خانواده کدوییان (Cucurbitaceae) یا گیاهان جالیزی، یکی از مهم‌ترین گروه‌های گیاهی هستند که در ایران و بخصوص استان تهران کشت می‌شوند. از مهم‌ترین گونه‌های اقتصادی این خانواده می‌توان به هندوانه (*Citrullus lanatus* L.)، خیار (*C. melo* var *inodorus*) و خربزه (*C. melo* var *cantalupensis*) و طالبی (*Cucumis sativus* L.) اشاره کرد. استان تهران با داشتن بالغ بر ۶۵۵۷ هکتار سطح زیر کشت صیفی‌جات و تولید سالانه ۸۱۳۰۷ تن یکی از تولیدکنندگان مهم محصولات جالیزی به صورت کشت باز و گلخانه‌ای بوده که به ترتیب ۲/۲۵ درصد سطح و ۸/۲۵ درصد عملکرد کشور را دارا می‌باشد (Ahmadi et al. 2020). قارچ فوزاریوم یکی از مهم‌ترین جنس‌های بیمارگر گیاهان است که باعث خسارات جدی در گیاهان تیره کدوییان می‌شود. مهم‌ترین بیمارگری که باعث پوسیدگی‌های ریشه و ساقه در کدوییان می‌شود، فوزاریوم است و همچنین

مسئول پژمردگی های آوندی در گروه ملونها (طالبی و کدو) است. قارچ های *F. oxysporum* f.sp. *melonis* (طالبی و کدو) باعث پوسیدگی طوفه و ریشه کدوی تابستانه، طالبی، کدوتبل و پوسیدگی *F. solani* f.sp. *cucurbitae* و *proliferatum* میوه در کدوتبل هستند (Namiki et al. 1994; Pivonia et al. 1997). تشخیص سریع و قابل اعتماد عامل بیماری برای انجام اقدامات به موقع و مناسب برنامه های مدیریت بیماری ضروری می باشد. شناسایی ساختار جمعیتی قارچ های بیمارگر در فهم زیست شناسی موجود و همچنین توسعه راهبردهای کنترل بیماری (Malwick & Percich 1998) و همچنین برای مطالعات مولکولی بین افراد که اجزای تشکیل دهنده ساختار جمعیت هستند نیز ضروری می باشد (Leung et al. 1993). اکنون روش های شناسایی پر زحمت و زمانبر سنتی به طور روزافزون در حال جایگزین شدن با روش های مولکولی غیر وابسته به محیط کشت هستند که بسیار سریعتر، اختصاصی تر و حساس تر هستند. نشانگرهای مولکولی ثابت کردند که می توانند ابزار مناسبی در تشخیص و ارزیابی تنوع ژنتیکی در بین و داخل گونه ها و جمعیت ها باشند. نشان داده شده است که نشانگرهای مختلف ممکن است طبقات متفاوتی از تنوع (تغییرات) را نشان دهند. که این امر با بخش ژنومی مورد بررسی توسط هر نشانگر، میزان توزیع آنها در سراسر ژنوم و همچنین مقدار DNA هدف که در این روش خاص مورد آزمایش قرار می گیرد، ارتباط دارد (Davila et al. 1999). از میان این روش های مولکولی، نشانگرهای بین توالی های ساده تکراری (ISSR)<sup>1</sup> ابزاری بسیار قوی هستند که می توانند جهت دستیابی به تنوع اطراف نواحی ریز ماهواره ای که در سراسر ژنوم پراکنده هستند، استفاده شوند (Zietkiewicz et al. 1994). تکرار پذیری بیشتر یکی از مزیت هایی است که ISSR را نسبت به RAPD بسیار امیدبخش تر می کند. بدلیل استفاده از آغازگرهای بلندتر که امکان استفاده از دمای اتصال بالاتر (۴۵-۶۰ درجه سانتی گراد) را فراهم می کند منجر به سخت گیری بالاتر و افزایش تکرار پذیری آزمایش می شود. تنوع بالای موجود در گونه *F. oxysporum* با پیچیدگی های موجود در این گونه مرتبط است (Bayraktar & Dolar 2009). روش های مولکولی مانند نواحی بین توالی های ساده تکراری (ISSR) و DNA چندشکلی تکثیر شده تصادفی (RAPD) در حال حاضر به طور گسترده ای در مطالعات رده بندی قارچ ها (Dubey & Singh 2008) بررسی تنوع ژنتیکی عوامل بیماری زای گیاهی مختلف از جمله فوزاریوم مورد استفاده قرار می گیرند (Khairy et al. 2016; Katkar et al. 2015; Arif et al. 2008; Arpita et al. 2012; Akbar et al. 2018; Lin et al. 2012; Rakhonde et al. 2017; Shahnazi et al. 2014). این نشانگرها علاوه بر گیاهان در دامنه وسیعی از جانوران، از جمله گاو، گوسفند، بز، ماهی و زنبور عسل برای تعیین تنوع ژنتیکی مورد استفاده قرار گرفته است (Askari et al. 2010; Ghasemi et al. 2010; Askari et al. 2011; Zamani et al. 2011; Mohammadabadi and Askari 2012; Zamani et al. 2015; Bahador et al. 2016; Mohammadabadi et al. 2017; Mohammadabadi et al. 2021). لذا، هدف از این مطالعه، بررسی تنوع ژنتیکی گونه های فوزاریوم بخش های *Elegans* و *Martiella-Ventricosum* جدا شده از کدوییان استان تهران با استفاده از آغازگرهای ISSR بود.

<sup>1</sup>. Inter Simple Sequence Repeat

## مواد و روش‌ها

## جداسازی قارچ‌ها، خالص‌سازی و شناسایی: در طول فصل زراعی از مناطق عمده‌ی کشت محصولات جالبی استان

تهران، نمونه‌برداری به عمل آمد. از ریشه، طوقه و ساقه تا ارتفاع ۱۵ سانتی‌متری و همچنین از خاک اطراف گیاه (ریزوسفر تا عمق ۲۰-۲۰ سانتی‌متری و فاصله ۱۵ سانتی‌متری از گیاه)، به عنوان نمونه جمع‌آوری شد. از خاک‌های آماده شده به نسبت ۱g:۱g:۱۰cc در آب مقطر استریل حاوی آنتی‌بیوتیک سپیروفلوکساسین ppm ۵۰۰، در ارلن‌های با حجم ۱۰۰ سی‌سی یک سوسپانسیون تهییه شد و سپس جهت آزاد شدن بهتر اجزاء قارچی در سوسپانسیون حاصله، ارلن‌ها به مدت ۲ ساعت بر روی دستگاه شیکر با دور ۱۵۰ rpm قرار داده شدند. در مورد نمونه‌های ریشه و ساقه نیز، ابتدا آنها را با اسکالپل به قطعات ریز چند میلی‌متری برش داده و سپس مانند مرحله بالا مقدار یک گرم از این قطعات به ۵۰ میلی‌لیتر آب اضافه شد. مقدار یک میلی‌لیتر از این سوسپانسیون‌ها بر روی پلیت‌های ۱۰ سانتی‌متری حاوی محیط کشت (Peptone PCNB Agar (PPA) ppm ۵۰۰ آنتی‌بیوتیک سپیروفلوکساسین ۱۰ سانتی‌متری حاوی فوزاریوم با سوزن جداسازی شده و به یک محیط کشت جدید PPA منتقال داده شدند. از این مدت در زیر میکروسکوپ تک پرگنه‌های فوزاریوم با سوزن جداسازی شده و به یک محیط کشت جدید PPA منتقال داده شدند. خالص‌سازی جدایه‌های قارچی به روش تک اسپور کردن انجام شد. جدایه‌های قارچی پس از خالص‌سازی بر اساس خصوصیات ریخت‌شناسی پرگنه (قطر، رنگ، بافت و رنگدانه‌ها و ...) و میکروسکوپی مانند تولید ماکرو و میکروکنیدیوم، نوع فیالیدها، شکل و تعداد سلول‌های ماکرو و میکروکنیدی، شکل، نحوه تشکیل و تعداد سلول‌های کلامیدوسپورها مورد بررسی قرار گرفتند (Leslie & Summerell 2006; Nelson et al. 1983).

**تهییه توده میسیلیوم:** یک قطعه‌ی ۵ میلی‌متری از حاشیه‌ی پرگنه‌های هفت روزه‌ی قارچ از روی محیط کشت PDA، به یک ارلن ۲۵۰ میلی‌لیتری حاوی ۵۰ میلی‌لیتر محیط سیب‌زمینی دکستروز براث (PDB) منتقل شد. ارلن‌ها به مدت سه روز بر روی شیکر با دور ۱۵۰ rpm در دمای محیط قرار داده شدند. سپس جهت حذف محیط کشت اضافی، توده‌ی میسیلیوم حاصله بر روی پارچه‌ی توری استریل با آب مقطر استریل چند بار شستشو داده شد و میسیلیوم‌ها جهت آزمایشات بعدی در ویال‌های ۲ میلی‌لیتری نگهداری شدند.

**استخراج DNA:** DNA ژنومی قارچ‌ها بر اساس روش González et al. (2010) استخراج شد. بدین نحو که ابتدا میکروتیوب‌ها به مدت ۵ دقیقه در دور ۴۰۰۰rpm در دمای ۴ درجه سانتی‌گراد سانتریفیوژ شدند. سپس قسمت رویی (سوپرناتانت) دور ریخته شد و به قسمت تهنشین شده (پلت) مقدار ۰/۵ mL از بافر استخراج [SDS 3% w/v, EDTA 0.5 mM, NaCl ۰/۵ M, Tris-HCl 0.1 mM pH:8] SDS به مدت ۱۰ دقیقه در حمام آب گرم (۶۵ °C) قرار داده شدند مجدداً با آرام برگرداندن متناوب (صد مرتبه) محتويات آنها مخلوط شده و سپس ۰/۴ mL از مخلوط کلروفرم/فنول (v/v ۱:۱) به آنها اضافه شد. با عمل برگرداندن میکرو‌تیوبها مخلوط شده و سپس

به مدت ۵ دقیقه در دور ۱۰۰۰۰ rpm سانتریفیوژ شدن. محتویات ویال‌ها سه فاز شده که فاز رویی حاوی DNA می‌باشد. فاز رویی (۰/۸ mL) به یک ویال جدید انتقال داده شد و ۰/۸ mL پروپانول خنک در حد يخ به آن اضافه شد. پس از یکنواخت کردن محتویات، میکروتیوب‌ها با عمل برگرداندن متناوب، به مدت ۱۰ دقیقه در دور ۱۰۰۰۰ rpm سانتریفیوژ شدن. (به منظور رسوب بیشتر DNA، بهتر است قبل از انجام این سانتریفیوژ، ویال‌ها به مدت ۳۰ دقیقه در دمای ۲۰°C نگهداری شوند). پس از سانتریفیوژ، اینزوپروپانول رویی با دقت و به آرامی کشیده شد و ۱ ml اتانول ۷۵٪ به DNA رسوب شده در ته ویال‌ها اضافه شد و با عمل برگرداندن متناوب DNA رسوب شده کاملاً شسته شد. سپس به مدت ۵ دقیقه در دور ۱۰۰۰۰ rpm سانتریفیوژ شد. محلول رویی با دقت و با کج کردن آرام تیوب‌ها دور ریخته شد تا پلت DNA در ته تیوب باقی بماند. سپس در معرض هوا (حدود ۳۰ دقیقه) خشک گردید. به پلت DNA کاملاً خشک شده ۵۰ μL از بافر [۰.۱۲۲ w/v Tris-Base pH: ۸ ۱۰ mM, ۰.۰۲ w/v EDTA ۱ mM] اضافه شد و اجازه داد تا DNA کاملاً در آن حل شده و سپس در دمای ۲۰- درجه سانتی گراد نگهداری شد. از دستگاه اسپکتروفوتومتر جهت بررسی کیفیت و غلظت DNA ژنومی استفاده شد (González et al. 2010).

**طراحی پرایمرها:** تعداد پنج آغازگر که بر اساس مطالعات انجام شده توسط سایر محققین بر روی گونه‌های مختلف فوزاریوم، بیشترین تکثیرهای پایدار، باندهای جداگانه و چندشکلی‌های بهتری را ارائه داده بودند، جهت انجام این آزمایش‌ها انتخاب Khairy et al. 2016; Arpita et al. 2012; Katkar et al. 2015; Shahnazi et al. 2014; Thangavelu et al. 2012.

## جدول ۱. مشخصات آغازگرهای مورد استفاده در واکنش‌های ISSR-PCR

Table 1. Characteristics of primers used in ISSR-PCR reactions

| نام آغازگر<br>Primer name | توالی آغازگر (۵'-۳')<br>Primer sequences | دما اتصال (درجه سانتی گراد)<br>Annealing temperature (°C) |
|---------------------------|--|---|
| UBC-808                   | AGAGAGAGAGAGAGAGC                        | 51  |
| UBC-809                   | AGAGAGAGAGAGAGAGGG                       | 51  |
| UBC-856                   | ACACACACACACACACYA                       | 53.7  |
| UBC-864                   | ATGATGATGATGATGATG                       | 49  |
| UBC-885                   | BHBGAGAGAGAGAGAGA                        | 53.4  |

B= C,G or T / H= A,C or T / Y= C ,T

**واکنش زنجیره‌ای پلیمراز (PCR):** تکثیرها در یک واکنش با حجم ۰.۲۵ μL، حاوی ۱۰ μL میکس ۲X، ۱ μL Sinaclon™، ۰.۵ μM از هر پرایمر (Bioer®)، ۱۱ μL آب مقطمر مناسب PCR انجام شد. ویال‌های حاوی مخلوط واکنش در دستگاه PCR قرار داده شدند. مراحل واکنش PCR بدین نحو انجام شد: واسرشته‌سازی اول

به مدت ۵ دقیقه در دمای ۹۴ °C، سپس ۳۵ چرخه از سه مرحله‌ی واسرسته سازی دوم به مدت ۱ دقیقه در دمای ۹۴ °C، اتصال پرایمرها به مدت ۱ دقیقه در دمای مورد نظر برای هر آغازگر (جدول ۱) و بسط رشته‌ها به مدت ۱ دقیقه در دمای ۷۲ °C و در نهایت ۱۰ دقیقه در بسط نهایی در دمای ۷۲ °C انجام شد (Khairy et al. 2016). جهت بررسی قطعات ژنومی تکثیری احتمالی، محصول نهایی PCR در ژل آگارز ۱/۵ درصد حاوی DNA Safe Stain (Sinaclon<sup>TM</sup>) در ۱۰۰ mL (۱/۵ µL) در دستگاه الکتروفورز با ولتاژ ۸۰ ولت و مقاومت ۱۰۰ میلی آمپر به مدت ۳۰ دقیقه بارگذاری شد. سپس جهت آشکار سازی باندها، ژل‌ها بر روی دستگاه ژل داکیومنت با نور UV و شدت نور ۳۲۰ قرار داده شدند. جهت بررسی اندازه‌ی مولکولی قطعات تکثیر شده، با استفاده از نرم‌افزار Digimizer<sup>®</sup>، بر اساس منحنی استاندارد بدست آمده از حرکت هر باند در مقابل لگاریتم اندازه مولکولی آن باند از خط کش مولکولی ۱ Kb طول قطعات ژنومی تکثیر شده، محاسبه شد. قطعاتی که بر روی ژل آگارز، فاصله یکسانی را طی کرده بودند به عنوان یک باند مشترک در نظر گرفته شدند. یک ماتریکس داده از وجود (۱) یا عدم وجود (۰) هر باند برای هر جدایه در نرم‌افزار Excel 2007 ترسیم شد.

**تجزیه داده‌ها:** جهت تجزیه و تحلیل روابط داخل گونه‌های *Fusarium* از نرم‌افزار NTSYS-PC V2.02 استفاده شد. در برنامه‌ی SIMQUAL جهت محاسبه‌ی شباهت از ضربی SM استفاده شد. جهت رسم دندوگرام از ماتریکس‌های شباهت حاصله، از روش UPGMA استفاده شد. جهت بررسی میزان کارایی نشانگرها در بروز چندشکلی، آماره‌های محتوای اطلاعات چندشکلی آغازگرها (PIC<sup>۱</sup>) شاخص نشانگری (MI<sup>۲</sup>) و نسبت چندگانه مؤثر (EMR<sup>۳</sup>) محاسبه شد. مقدار PIC از رابطه‌ی (۱) می‌شود:

$$PIC = 1 - (p^2 + q^2) \quad (رابطه ۱)$$

در این رابطه:  $P_i =$  فراوانی ال i ام (حضور باند) و  $q_i$  فراوانی عدم وجود باند (نیوود باند) است و PIC نهایی آغازگر، میانگین همه‌ی این PIC‌ها خواهد بود (Lemos et al. 2019). فاکتور نسبت چندگانه مؤثر (EMR) که بیانگر تعداد جایگاه‌های ژنی چندشکل موجود در مجموعه ژرمپلاسم مورد مطالعه است بر حسب رابطه‌ی  $EMR = n_p \times \beta$  محاسبه شد. که در این رابطه  $n_p$  تعداد جایگاه‌های ژنی چندشکل و  $\beta$  از رابطه‌ی  $\beta = n_p / (n_p + n_{np})$  به دست می‌آید.  $n_p$  تعداد باندهای چندشکل و  $n_{np}$  تعداد باندهای غیر چندشکل (یکشکل<sup>۴</sup> می‌باشد) (Karimi et al. 2010). شاخص نشانگری (MI) که می‌تواند به عنوان شاخصی در برآورد کارایی یک نشانگر در یک توده‌ی ژنتیکی استفاده شود، از رابطه‌ی زیر به دست آمد (Chesnokov & Artemyeva 2015).

$$MI = PIC \times EMR \quad (رابطه ۲)$$

<sup>1</sup>. Polymorphism Information Content

<sup>2</sup>. Marker Index

<sup>3</sup>. Effective Multiplex Ratio

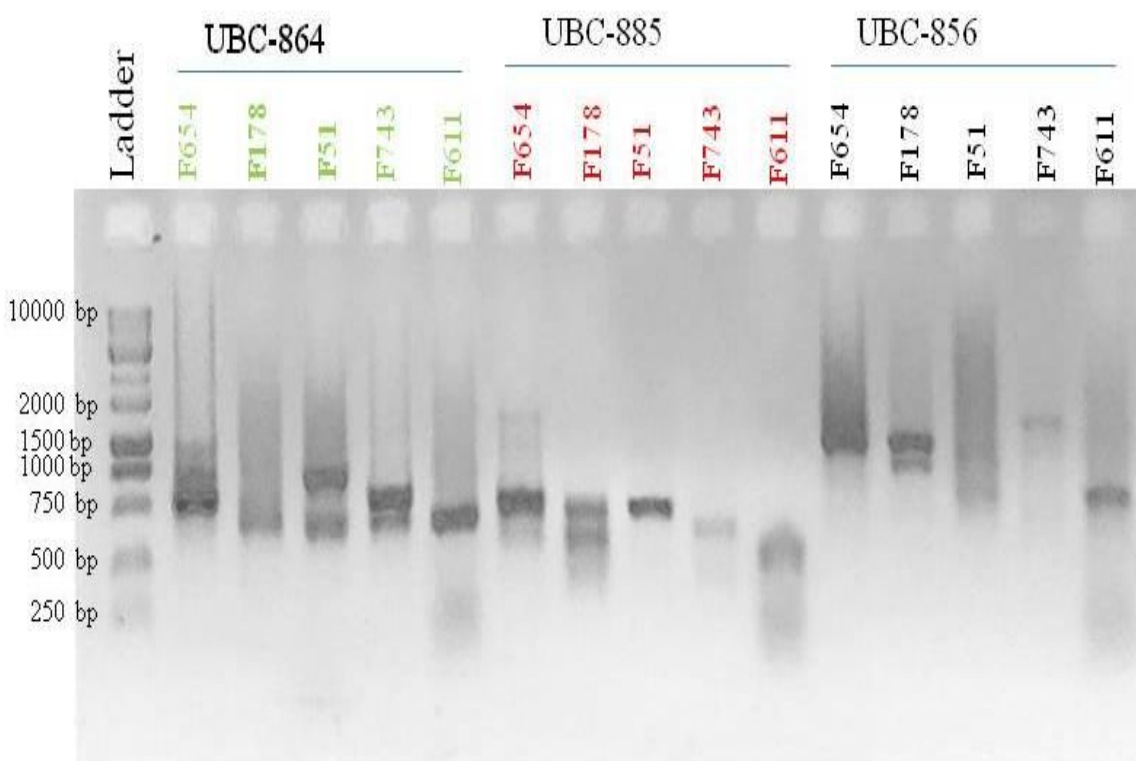
<sup>5</sup>. Monomorph

جهت ارزیابی میزان شباهت درختواره‌های به دست آمده از آغازگرهای مختلف از آزمون مانتل استفاده شد (Rakhonde et al.

.al. 2017

## نتایج و بحث

شناسایی مورفولوژیک جدایه‌های قارچی: از مجموع ۹۶ جدایه، تعداد ۴۸ جدایه به عنوان *Fusarium solani*، تعداد ۲۵ جدایه به عنوان *F. oxysporum* و تعداد ۲۳ جدایه به عنوان *F. redolens* تشخیص داده شدند. از تکثیرهای ۹۶ جدایه از فوزاریوم با استفاده از ۵ آغازگر<sub>6</sub> BHB(GA)<sub>7</sub>, (AG)<sub>8</sub>C, (AG)<sub>8</sub>G, (AC)<sub>8</sub>YA, (ATG)<sub>6</sub> مجموعاً ۴۰۸ باند به دست آمد. تعداد ۱۳۰ نوع باند متفاوت تولید شد که از این تعداد، ۸۳ باند پلی‌مورفیک و ۴۷ باند مونومورفیک بود. (باندهایی که فقط در یک جدایه قارچی تولید شده بودند به عنوان مونومورف یا یک‌شکل لحاظ شدند). اندازه‌ی قطعات PCR تولید شده از ۲۷۳ تا ۲۴۲۸ جفت‌باز متغیر بود. میانگین جایگاه ژنی چندشکل به ازای هر آغازگر معادل ۱۶/۶ باند بود. از بین آغازگرهای مورد استفاده، آغازگر UBC-808 با تعداد ۱۱۱ باند و بعد از آن آغازگر UBC-809 با تعداد ۸۹ باند بیشترین تولید باند و آغازگر UBC-856 با تعداد ۴۶ باند کمترین تولید باند را داشتند (جدول ۲). بیشترین تنوع باند برای آغازگر UBC-808 با ۳۲ باند و سپس UBC-885 با ۲۹ باند و کمترین تنوع باند برای آغازگر UBC-856 با ۲۰ باند بود. همچنین بیشترین باند چندشکل برای آغازگر UBC885 با ۱۹ باند و سپس UBC-808 با ۱۸ باند و کمترین باند چندشکل برای آغازگر UBC856 با ۱۳ باند بود. درصد چندشکلی به دست آمده از بیشترین (درصد) برای UBC-864 تا کمترین (۵۶ درصد) برای UBC808 متغیر بود. در این پژوهش در مجموع ۱۳۰ باند مختلف با ۶۴ درصد چندشکلی تولید شد (۸۳ باند). محتوای اطلاعات چندشکل (PIC) و همچنین شاخص نشانگری (MI) برای هر یک از آغازگرهای محاسبه و در جدول شماره ۲ ارائه شد. محتوای اطلاعات چندشکل در این تحقیق بین ۰/۰۵ تا ۰/۰۸ متفاوت بود و بالاترین میزان PIC برای آغازگر UBC-864 به میزان ۰/۰۸ و کمترین میزان PIC برای آغازگر UBC-856 به مقدار ۰/۰۵ بود. هرچه این آماره بیشتر باشد بهتر می‌تواند تفاوت ژنتیک‌ها را نشان دهد. بیشترین میزان EMR مربوط به آغازگر UBC-885 (۱۲/۴۵) و کمترین برای آغازگر UBC-856 (۸/۴۵) بود. بیشترین میزان MI مربوط به آغازگر UBC-864 (۰/۰۷) و کمترین میزان MI برای آغازگر UBC-856 (۰/۰۳۹) بود. بررسی کارآیی آغازگرهای در مقایسه‌ی جداگانه درون هر بخش نشان داد که بیشترین باند چندشکل در جدایه‌های مربوط به بخش *Elegans* توسط آغازگر UBC-808، (۱۴ باند) و کمترین توسط UBC-856 با تولید ۷ باند بود. بهترین شاخص نشانگری (MI) و نسبت چندگانه مؤثر (EMR) باز هم مربوط به آغازگر UBC-808 (به ترتیب، ۰/۶۶ و ۰/۵۳) بود (جدول ۳).



شکل ۱. الگوی باندهای حاصل از ISSR-PCR برشی جدایه‌های *Fusarium* خط کش مولکولی، UBC-864((ATG)<sub>6</sub>), UBC-885(BHB(GA)<sub>7</sub>) و UBC-856((AC)<sub>8</sub>YA) آغازگرهای ISSR

Figure 1. ISSR-PCR banding pattern. DNA Ladder 1Kb. F654, F178, F51, F743, F611 *Fusarium* isolates. UBC-864((ATG)<sub>6</sub>), UBC-885(BHB(GA)<sub>7</sub>), UBC-856((AC)<sub>8</sub>YA), primers

در جدایه‌های مربوط به بخش‌های *Martiella-Ventricosum* بیشترین چندشکلی توسط آغازگر UBC-809 با ۶۴ درصد و کمترین توسط آغازگر UBC-864 با ۴۷ درصد بود (جدول ۴). ارزیابی میزان شباهت درختواره‌های حاصل از دندوگرامها بر اساس آزمون مانتل نشان داد که درختواره مورفولوژیک بیشترین شباهت را با آغازگر UBC-864 بهمیزان ۵۳ درصد و کمترین شباهت را با درختواره حاصل از آغازگر UBC-808 بهمیزان ۳۱ درصد داشت (جدول ۵). روش خوشبندی UPGMA جهت تخمین روابط خویشاوندی بین جدایه‌ها مورد استفاده قرار گرفت. درختواره حاصله از تجزیه و تحلیل خوشبندی UPGMA بر اساس ضریب شباهت SM، حاصل از مجموع پنج آغازگر گروه‌بندی مشخصی که بتواند جدایه‌های هر سه گونه را در سه گروه مجزا دسته‌بندی کند، تولید نکرد (شکل ۲). روش خوشبندی UPGMA جهت تخمین روابط خویشاوندی بین جدایه‌های هر بخش مورد استفاده قرار گرفت. درختواره حاصله از تجزیه و تحلیل خوشبندی UPGMA بر اساس ضریب شباهت SM، در بخش *Elegans*

در سطح تشابه ۹۸ درصد یک گروه بزرگ تولید کرد که اغلب جدایه‌های *F. oxysporum* را شامل می‌شد. و یک گروه از ۱۵ جدایه (۸ جدایه) با سطح تشابه ۹۱ تا ۹۵ درصد با جدایه‌های *F. oxysporum redolens* در گروه دیگر قرار گرفتند و بقیه جدایه‌ها (۱۵) بدون گروه‌بندی خاصی در شاخه‌های مختلف قرار گرفتند (شکل ۳).

## جدول ۲. ویژگی باندهای تکثیر شده و میزان شاخص‌های MI، EMR و PIC برای هر یک از آغازگرهای

*Fusarium* برای ۹۶ جدایه ISSR

**Table 2. Characteristics of amplified bands. PIC, EMR and MI indices for each of the ISSR primers for 96 *Fusarium* isolates**

| Primer name | نام آغازگر | مجموع            |      | اندازه باندها (bp) |                   | تعداد جایگاه ژنی | تعداد جایگاه ژنی<br>چندشکل | درصد چندشکلی<br>Polymorphism (%) |            |      |  |  |  |  |
|-------------|------------|------------------|------|--------------------|-------------------|------------------|----------------------------|----------------------------------|------------|------|--|--|--|--|
|             |            | Band length (bp) |      | تکثیر شده          |                   |                  |                            |                                  | PIC EMR MI |      |  |  |  |  |
|             |            | Total bands      | Min. | Max.               | Number of alleles |                  |                            |                                  |            |      |  |  |  |  |
| UBC-808     | UBC-808    | 111              | 273  | 2420               | 32                | 18               | 56                         | 0.07                             | 10.13      | 0.69 |  |  |  |  |
| UBC-809     | UBC-809    | 89               | 362  | 2420               | 27                | 17               | 63                         | 0.07                             | 10.70      | 0.70 |  |  |  |  |
| UBC-856     | UBC-856    | 46               | 566  | 2182               | 20                | 13               | 65                         | 0.05                             | 8.45       | 0.39 |  |  |  |  |
| UBC-864     | UBC-864    | 85               | 495  | 1729               | 22                | 16               | 73                         | 0.08                             | 11.64      | 0.87 |  |  |  |  |
| UBC-885     | UBC-885    | 77               | 325  | 1654               | 29                | 19               | 66                         | 0.05                             | 12.45      | 0.66 |  |  |  |  |

## جدول ۳. ویژگی باندهای تکثیر شده و میزان شاخص‌های MI، EMR و PIC برای هر یک از آغازگرهای *Fusarium redolens* و *Fusarium oxysporum* در ۴۸ جدایه متعلق به گونه‌های ISSR

**Table 3. Characteristics of amplified bands. PIC, EMR and MI indices for each of the ISSR primers for 48 isolates of *Fusarium oxysporum* and *Fusarium redolens***

| Primer name | نام آغازگر | تعداد جایگاه ژنی |                   |                  |        |                                  |                               |      |     |    |
|-------------|------------|------------------|-------------------|------------------|--------|----------------------------------|-------------------------------|------|-----|----|
|             |            | مجموع باندهای    |                   | تعداد جایگاه ژنی | چندشکل | درصد چندشکلی<br>Polymorphism (%) |                               |      |     |    |
|             |            | تکثیر شده        | Number of alleles |                  |        |                                  | Number of polymorphic alleles | PIC  | EMR | MI |
|             |            | Total bands      |                   |                  |        |                                  |                               |      |     |    |
| UBC-808     | UBC-808    | 59               | 26                | 14               | 54     | 0.09                             | 7.53                          | 0.66 |     |    |
| UBC-809     | UBC-809    | 38               | 20                | 8                | 40     | 0.07                             | 3.20                          | 0.24 |     |    |
| UBC-856     | UBC-856    | 24               | 14                | 7                | 50     | 0.07                             | 3.50                          | 0.24 |     |    |
| UBC-864     | UBC-864    | 44               | 16                | 10               | 63     | 0.10                             | 6.25                          | 0.66 |     |    |
| UBC-885     | UBC-885    | 28               | 14                | 9                | 64     | 0.08                             | 5.78                          | 0.46 |     |    |

جدول ۴. ویژگی باندهای تکثیر شده و میزان شاخص‌های PIC, EMR و MI برای هر یک از آغازگرهای *Fusarium solani* در ۴۸ جدایه متعلق به گونه‌ی ISSR

**Table 4. Characteristics of amplified bands. PIC, EMR and MI indices for each of the ISSR primers for 48 isolates of *Fusarium solani***

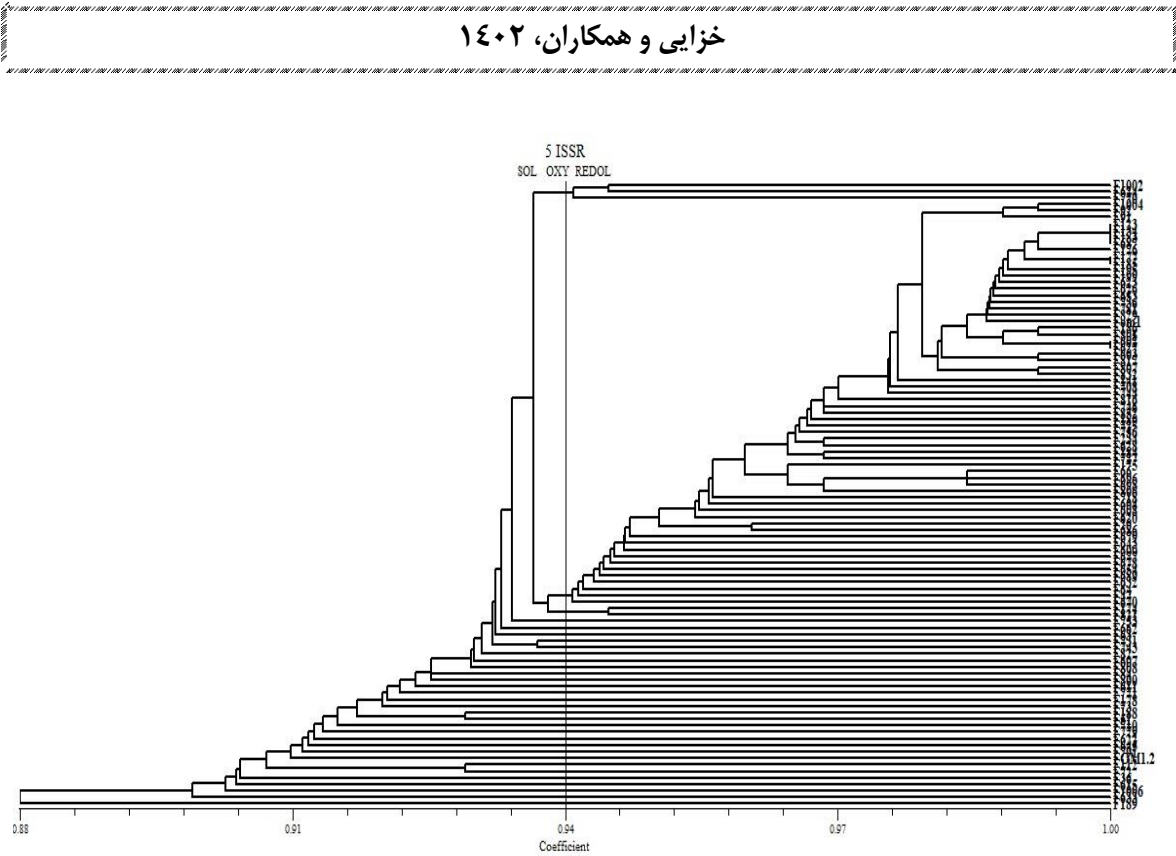
| نام آغازگر<br>Primer name | مجموع باندهای<br>تکثیر شده<br>Total bands | تعداد جایگاه ژنی<br>Number of alleles | تعداد جایگاه ژنی                        |                                  |      | PIC  | EMR  | MI |
|---------------------------|---|---------------------------------------|---|----------------------------------|------|------|------|----|
|                           |   |                                       | چندشکل<br>Number of polymorphic alleles | درصد چندشکلی<br>Polymorphism (%) |      |      |      |    |
| UBC-808                   | 52  | 20                                    | 12                                      | 60                               | 0.10 | 7.2  | 0.72 |    |
| UBC-809                   | 51  | 22                                    | 14                                      | 64                               | 0.10 | 8.9  | 0.80 |    |
| UBC-856                   | 22  | 12                                    | 7                                       | 58                               | 0.07 | 4.1  | 0.30 |    |
| UBC-864                   | 41  | 19                                    | 9                                       | 47                               | 0.07 | 4.3  | 0.35 |    |
| UBC-885                   | 47  | 25                                    | 13                                      | 52                               | 0.07 | 6.76 | 0.50 |    |

جدول ۵. میزان شباهت بین درختواره‌های به دست آمده از آغازگرهای مختلف و درختواره مورفولوژیک بر اساس آزمون مانتل

**Table 5. The similarity between the phylogenetic trees obtained from different primers and the morphological tree based on Mantel's test**

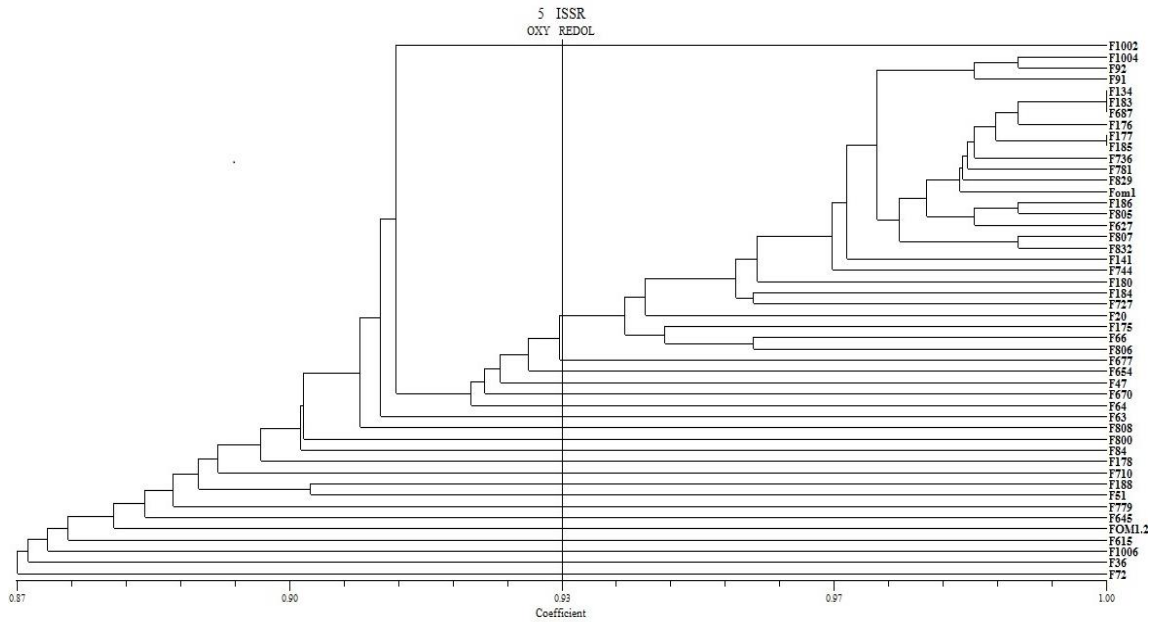
|            | UBC-808 | UBC-809 | UBC-856 | UBC-864 | UBC-885 | Morphology |
|------------|---------|---------|---------|---------|---------|------------|
| UBC-808    | ----    |         |         |         |         |            |
| UBC-809    | 0.58136 | ----    |         |         |         |            |
| UBC-856    | 0.27266 | 0.30202 | ----    |         |         |            |
| UBC-864    | 0.43978 | 0.55413 | 0.47771 | ----    |         |            |
| UBC-885    | 0.39571 | 0.47619 | 0.45821 | 0.54640 | ----    |            |
| Morphology | 0.31141 | 0.38186 | 0.37948 | 0.53393 | 0.47917 | ----       |

درختواره حاصله از تجزیه و تحلیل خوشی UPGMA بر اساس ضریب شباهت SM در بخش-*Martiella*- در سطح تشابه ۸۹ درصد به دو گروه تقسیم شد. یک گروه بزرگ (۴۳ جدایه) و یک گروه با تک جدایه F112 در گروه بزرگ، ضریب تشابه از ۸۹ تا ۹۹ درصد متغیر بود. چهار جدایه F189, F633, F791 و F622 هر کدام با ضریب تشابه‌های کمتر در گروه‌های مجزا از هم قرار گرفتند.



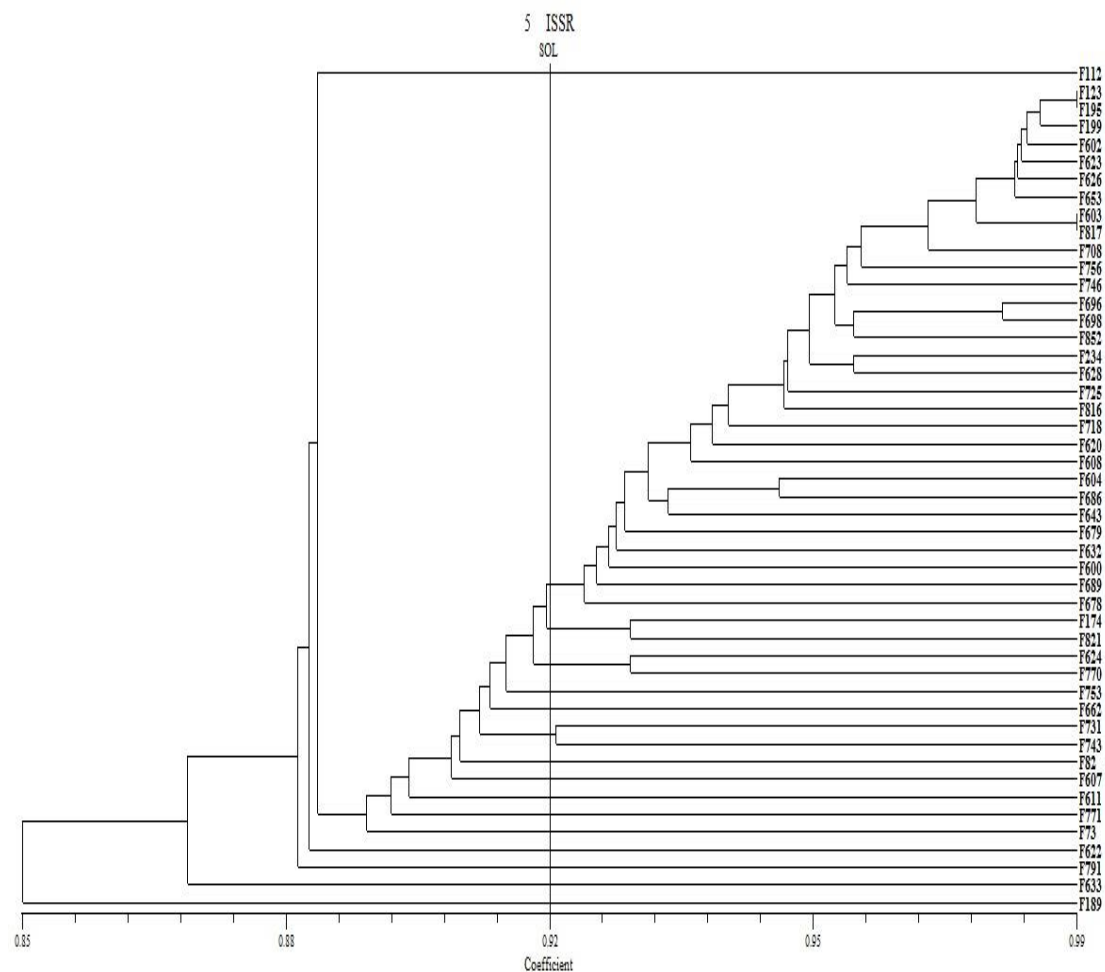
شکل ۲. درختواره حاصل از تجزیه خوشه‌ای بهروش UPGMA برای ۹۶ جدایه از قارچهای *Fusarium* با استفاده از نشانگر ISSR با اساس ضریب تشابه SM

Figure 2. UPGMA Dendrogram of 96 isolates of *Fusarium solani*, *Fusarium oxysporum* and *Fusarium redolens* using ISSR markers based on SM similarity coefficient



شکل ۳. دندوگرام حاصل از تجزیه خوشه‌ای بهروش UPGMA برای جدایه‌های متعلق به گونه‌های *Fusarium redolens* و *Fusarium oxysporum* با استفاده از نشانگر ISSR با اساس ضریب تشابه SM

Figure 3. UPGMA Dendrogram of *Fusarium oxysporum* and *Fusarium redolens* isolates using ISSR markers based on SM similarity coefficient



شکل ۴. دندوگرام حاصل از تجزیه خوشای بدروش UPGMA برای جدایه‌های متعلق به بخش-*Martiella*-*Ventricosum* با استفاده از نشانگر ISSR بر اساس ضریب تشابه SM

**Figure 4. UPGMA Dendrogram of *Fusarium* isolates belonging to *Martiella-Ventricosum* section using ISSR markers based on SM similarity coefficient**

فوزاریوم‌ها از مهمترین عوامل بیماری‌زای گیاهی هستند که باعث خسارات جدی به کدوییان می‌شوند و مسئول پوسیدگی‌های طوفه و ریشه در ملون‌ها می‌باشند. گونه‌های فوزاریوم مسئول پوسیدگی‌های قبل و بعد از برداشت در میوه‌های کدوییان می‌باشند. دانستن تنوع ژنتیکی جدایه‌های فوزاریوم جهت طرح‌ریزی و توسعه راهبردهای مؤثر و بلندمدت مدیریت بیماری شامل ارقام مقاوم و همچنین توسعه نشانگرهای مولکولی اختصاصی برای فرم‌های بیماری‌زای قارچ ضروری می‌باشد (Thangavelu et al. 2012).

نشانگرهای ISSR جهت مطالعه ژنتیک جمعیت یوکاریوت‌های مختلف استفاده قرار گرفته‌اند و اطلاعات ژنتیکی مهمی در جهت حل ویژگی‌های مهم ژنتیکی و تکاملی در قارچ‌ها ارائه کرده‌اند (Mishra et al. 2003). در این آزمایشات از پنج آغازگر

PCR استفاده شد. تمامی پنج آغازگر ISSR در طول آزمایشات *BHB(GA)<sub>7</sub>*, *(AG)<sub>8</sub>C*, *(AG)<sub>8</sub>G*, *(AC)<sub>8</sub>YA*, *(ATG)<sub>6</sub>* باندهایی پایدار و قابل تکرار تولید کردند. آغازگرهای *Martiella-Elegans* در تفکیک بخش‌های *BHB(GA)<sub>7</sub>*, *(ATG)<sub>6</sub>*, *F. solani Ventricosum* از همدیگر نتیجه‌ی بهتر و واقعی‌تری داشتند به‌طوری که بیشترین تولید باند را در گونه‌های متعلق به *UBC-885 (BHB(GA)<sub>7</sub>)*. آغازگر (*Shahnazi et al. 2014*) داشتند و این نتایج با یافته‌های محققین دیگر مطابقت داشت. با تولید ۲۵ باند بیشترین تولید باند را در مورد *F. solani* داشت که با یافته‌های *Shanazi et al. 2014* مطابقت داشت. ولی مجموع پنج آغازگر توانایی تفکیک گونه‌های متعلق به‌این بخش‌ها را در گروه‌های مختلف از خود نشان ندادند به‌همین دلیل در تفکیک گونه‌های مختلف باید از آغازگرهایی با تولید باندهای مشخص یا عدم تولید باند در یک گونه و تولید باند در گونه‌ی دیگر استفاده کرد. مجموع پنج آغازگر توانایی تفکیک و تمایز داخل گونه‌ای خوبی از خود نشان دادند. در بخش *Elegans* جدایه‌های مرتبط با *F. redolens* و *F. oxysporum* تقریباً از هم جداگانه گروه‌بندی شدند. تنوع درون گونه‌ای *F. redolens* بسیار بیشتر از *F. oxysporum* بود. نکته دیگر اینکه برخی جدایه‌هایی که به‌نام *F. oxysporum* شناسایی شده‌بودند از جمله *F. o. melonis race 1.2 (FOM1.2)* در گروه *F. redolens* قرار گرفتند.

در بخش *Martiella-Ventricosum* تنوع بسیار بالا مشاهده شد. جدایه *F112* به‌تنهایی در یک گروه جداگانه قرار داشت. این جدایه با داشتن میسیلیوم پرپشت، سفید پنبه‌ای روشن و رشد سریع از دیگر جدایه‌های *F. solani* متمایز بود. جدایه *F189* با کمترین تشابه (۸۵ درصد) از سایر اعضاء، به‌صورت یک عضو جدا از گروه دیده می‌شود. این جدایه از لحاظ ریخت شناسی ماکرو و میکروکنیدیوم، *F. solani* تشخیص داده شد ولی از لحاظ تولید رنگدانه در محیط و تغییر رنگ محیط کشت به‌رنگ صورتی شبیه به *F. oxysporum* بود و در این گروه‌بندی کاملاً جدا از دیگر جدایه‌ها قرار گرفته است. وجود تنوع بالا در بین جدایه‌های *F. solani* با نتایج دیگر محققان مطابقت داشت (*Shahnazi et al. 2014*). فقدان تنوع ژنتیکی، توان یک گونه‌ی خاص را در زنده‌مانی در برابر تغییرات زیستمحیطی کاهش می‌دهد (*Cao 2006*). در گونه‌های فوزاریوم مشابه آنچه دیگر محققین ذکر کرده‌اند *Shahnazi et al. 2014; Dinolfo et al. 2010; Mishra et al. 2006*; *Nagarajan et al. 2004*). قرار گرفتن جدایه‌هایی با شکل‌شناسی یکسان، در گروه‌های مولکولی مختلف بیانگر این مطلب است که شکل‌شناسی تنها، شاخصی مطمئن برای تفکیک کامل جدایه‌ها از هم‌دیگر نمی‌باشد (*Rabbaninasab et al. 2013*). اگرچه نشانگرهای مولکولی ابزاری مفید برای اهداف تاکسونومیکی است، اما کاربرد آن‌ها در کشاورزی زمانی مفیدتر است که با دیگر شاخص‌های بیولوژیکی مانند آزمون بیماریزایی و یا ژنتیکی مانند آزمون سازگاری رویشی همراه باشد (*Rabbaninasab et al. 2013*). در این تحقیق رابطه‌ی خاصی بین جدایه‌های مربوط به هر منطقه جغرافیایی مشاهده نشد و هر جدایه در گروه‌بندی مستقل از دیگر جدایه همان منطقه بود. از این رو می‌توان این فرضیه را پیشنهاد کرد که جدایه‌های هر منطقه از لحاظ ژنتیکی تفاوت‌هایی با هم‌دیگر دارند (*Shahnazi et al. 2014; Lak et al. 2018; Khairy et al. 2016*). و علت این امر را نیز می‌توان به کشت طولانی مدت صیفی‌جات در این مناطق و تنوع کشت و کاشت گیاهان میزبان متفاوت و حساس به پژمردگی‌های فوزاریومی

مانند خربزه، طالبی، ارقام مختلف ملون، خیار، گوجه و بادمجان نسبت داد. بیشترین آلودگی قارچی فوزاریومی در منطقه جوادآباد دیده شد. که علت آن را می‌توان سطح زیر کشت بالای صیفی‌جات از جمله طالبی در این منطقه دانست. بیشترین فراوانی گونه‌های فوزاریوم مورد بررسی متعلق به گونه‌ی *F. solani* روی گیاه طالبی و کدو بود و همچنین روی گیاه خربزه بیشترین فراوانی مربوط به قارچ *F. redolens* و گونه‌ی *F. oxysporum* نیز بیشترین فراوانی را بر روی خیار گلخانه‌ای و سپس گیاه خربزه داشت.

**نتیجه‌گیری:** ما معتقدیم که این مطالعه، یک دستاورد روبه‌جلو در جهت توسعه نشانگرهای ساده و کارآمد برای تشخیص و کمی‌سازی جمعیت‌های این عوامل بیماریزا در کشت گیاهان جالیزی فراهم می‌کند. در مطالعات آینده، قطعات تکثیر شده که امکان تمایز را فراهم کرده‌اند با استفاده از توالی‌بایی و مقایسه آنها با پایگاه‌های داده ژن، می‌توانند تنوع و قابلیت‌های زیستی بیمارگر را بیشتر تفسیر کنند. شایان ذکر است که با توجه به اطلاعات کم و یا پراکندگی اطلاعات موجود در مورد این عوامل بیماریزا، بنابراین انجام تحقیقات گستردۀ روش‌های سریع و دقیق تشخیص عامل بیماری جهت دستیابی به مدیریت بیماری بسیار ضروری به نظر می‌رسد. نتایج این تحقیق نشان داد که تنوع ژنتیکی بالایی در میان جدایه‌های فوزاریوم مورد بررسی وجود داشت و این که نشانگر ISSR یک نشانگر کارآمد جهت آشکارسازی روابط مولکولی بین توده‌ها و جدایه‌های قارچ فوزاریوم، می‌باشد.

**سپاسگزاری:** از مسئولین آزمایشگاه بیماری‌شناسی گروه گیاهپزشکی دانشگاه آزاد اسلامی واحد ورامین-پیشوایی، جهت همکاری صمیمانه‌اشان در انجام گرفتن برخی آزمایش‌ها، از جناب آقای مهندس داریوش شهریاری- مرکز تحقیقات کشاورزی ورامین- جهت دریافت جدایه‌های فوزاریوم FOM1.2 و FOM1.2 و همچنین از داوران محترم به خاطر ارائه نظرهای ارزشمند ساختاری و علمی سپاسگزاری ویژه به عمل می‌آید.

## منابع

احمدی کریم، عبادزاده حمیدرضا، حاتمی فرشاد و همکاران (۱۳۹۹) آمارنامه کشاورزی سال زراعی ۱۳۹۷-۹۸، جلد اول، محصولات زراعی. ۸۹ صفحه.

بهادر یاسر، محمدآبادی محمدرضا، خضری امین، و همکاران (۱۳۹۵) مطالعه تنوع ژنتیکی جمعیت‌های زنبور عسل استان کرمان با استفاده از نشانگرهای ISSR. پژوهش‌های تولیدات دامی، ۱۳، ۱۹۲-۱۸۶.

خیری فاطمه، رهنما کامران و یامچی احمد (۱۳۹۵) بررسی تنوع ژنتیکی در قارچ *Fusarium oxysporum f.sp. melonis* با استفاده از سازگاری رویشی و نشانگرهای ISSR. ژنتیک نوین، ۱، ۵۵-۴۵.

ربانی نسب حجت الله، سروی سعید و بخشی خانیکی غلامرضا (۱۳۹۲) تعیین تنوع ژنتیکی جدایه‌های قارچ *Fusarium oxysporum f.sp. melonis* در استان خراسان رضوی با استفاده از نشانگر مولکولی AFLP. زیست‌شناسی ایران، ۱، ۲۷-۱۸.

کریمی الهام، صفائی ناصر و شمس بخش مسعود (۱۳۸۹) بررسی چندشکلی DNA بین گروههای سازگاری میسلیومی ISSR با نشانگر *Sclerotinia sclerotiorum*. بیوتکنولوژی کشاورزی، ۲، ۵۵-۴۱.

عسکری ناهید، باقی زاده امین، محمدآبادی محمدرضا (۱۳۸۹). مطالعه تنوع ژنتیکی در چهار جمعیت بزرگی رایینی با استفاده از نشانگرهای ISSR. مجله ژنتیک نوین، ۵، ۵۶-۴۹.

لک فرزانه، سرپله ابوالفضل و شهریاری داریوش (۱۳۹۷) بررسی تنوع ژنتیکی جدایه‌های *Fusarium oxysporum* f.sp. *melonis* عامل پژمردگی طالبی و خربزه در ایران. پژوهش‌های کاربردی در گیاه‌پزشکی، ۱، ۸۳-۶۹.

### References

- Ahmadi K, Ebadzadeh HR, Hatami F (2020) Agricultural Statistics. Crop year. 1397-98. Ministry of Agriculture, Deputy of Planning and Economy Volume 1, pp. 87 (In Persian).
- Akbar A, Hussain S, Ullah K et al. (2018) Detection, virulence and genetic diversity of *Fusarium* species infecting tomato in Northern Pakistan PLoS ONE 13(9), 1-21.
- Arif M, Zaidi NW, Rizwanul Haq QM, Singh US (2008) Genetic variability within *Fusarium solani* as revealed by PCR-fingerprinting based on ISSR markers. Indian Phytopathol 61 (3), 305-310.
- Arpita D, Venkataramana M, Chandranayaka S et al. (2012) Molecular characterization of *Fusarium oxysporum* f. sp. *cubense* isolates from banana. Pest Manage Hortic Ecsyst 18(2), 171-178.
- Askari N, A Baghizadeh, MR Mohammadabadi (2010) Study of genetic diversity in four populations of Raeini cashmere goat using ISSR markers. Modern Genet J 5 (2), 49-56 (In Persian).
- Askari N, Mohammad Abadi MR, Baghizadeh A (2011). ISSR markers for assessing DNA polymorphism and genetic characterization of cattle, goat and sheep populations. Iran J Biotechnol 9, 222–229.
- Bahador Y, MR Mohammadabadi, A Khezri, et al. (2016) Study of Genetic Diversity in Honey Bee Populations in Kerman Province using ISSR Markers. Res Anim Prod 7 (13), 186-192 (In Persian).
- Bayraktar H, Dolar FS (2009) Genetic Diversity of Wilt and Root Rot Pathogens of Chickpea, as Assessed by RAPD and ISSR. Turk J Agric For 33, 1-10.
- Cao PJ, Yao QF, Ding BY et al. (2006) Genetic diversity of *Sinojackia dolichocarpa* (Styracaceae), a species endangered and endemic to China, detected by inter-simple sequence repeat (ISSR). Biochem Syst Ecol 34, 231- 239.
- Chesnokov YuV, Artemyeva AM (2015) Evaluation of the measure of polymorphism information of genetic diversity. Agric Biol 50(5), 571-578.

- Davila JA, Loarce Y, Ferrer E (1999) Molecular characterization and genetic mapping of random amplified microsatellite polymorphism in barley. *Theor Appl Genet* 98, 265-273.
- Dinolfo MI, Stenglein SA, Moreno MV et al. (2010) ISSR markers detect high genetic variation among *Fusarium poae* isolates from Argentina and England. *Eur J Plant Pathol* 127, 483-491.
- Dubey SC, Singh SR (2008) Virulence analysis and oligonucleotide fingerprinting to detect diversity among Indian isolates of *Fusarium oxysporum* f. sp. *ciceris* causing chickpea wilt. *Mycopathology* 165, 389-406.
- Ghasemi M, Baghizadeh A, Mohammadabadi MR (2010) Determination of genetic polymorphism in Kerman Holstein and Jersey cattle population using ISSR markers. *Aust J Basic Appl Sci* 4, 5758-5760.
- González Mendoza D, Argumedo-Delira R, Morales-Trejo A et al. (2010) A rapid method for isolation of total DNA from pathogenic filamentous plant fungi. *Genet Mol Res* 9 (1), 162-166.
- Karimi E, Safaie N, Shamsbakhsh M (2010) DNA polymorphism among mycelial compatibility groups of *Sclerotinia sclerotiorum* using ISSR marker. *J Agric Biotech* 2, 41-55 (In Persian).
- Katkar M, Mane SS, Kadam N (2015) Molecular characterization races of *Fusarium oxysporum* f.sp. *ciceri* using RAPD and ISSR markers. *Legume Res* 38 (2), 246-252.
- Khairy F, Rahnama K, Yamchi A (2016). Study of genetic diversity of *Fusarium oxysporum* f.sp *melonis* based on VCG groups and ISSR marker. *J Mod Genet* 11(1), 45-55 (In Persian).
- Lak F, Sarpeleh A, Shahriyari D (2018) Genetic Diversity of *Fusarium oxysporum* f. sp. *melonis* Isolates, The Causal Agent of Cantaloupe and Muskmelon Wilt in Iran. *Appl res plant pathol* 7(1), 69-83 (In Persian).
- Lemos SCM, Lia Rejane Silveira R, Karol Buuron S et al. (2019) Determining the Polymorphism Information Content of a Molecular Marker. *Gene* 2019, e144175.
- Leslie JF, Summerell BA (2006) The Fusarium Laboratory Manual. UK, Blackwell Publish Ltd. pp. 388.
- Leung H, Nelson RJ, Leach JE (1993) Population structure of plant pathogenic fungi and bacteria. In: Andrews, J.H., Tomm-erup, I.C. (Eds.), *Advances in Plant Pathology*. Academic Press, London. pp. 157–204.
- Lin Y, Fuping L, Shanshan L et al. (2012) ISSR analysis of *Fusarium oxysporum* Schl. in Hebei province. *Procedia Environ Sci* 12, 1237-1242.

- Malwick DK, Percich JA (1998) Genotypic and pathogenic diversity among pea-infecting isolates of *Aphanomyces euteiches* from the central and western United States. *Phytopathol* 88, 915–921.
- Mishra PK, Fox RTV, Culham A (2003) Intersimple sequence repeat and aggressiveness analyses revealed high genetic diversity, recombination and long range dispersal in *Fusarium culmorum*. *Ann Appl Biol* 143, 291-301.
- Mishra PK, Tewari JP, Clear RM, Turkington TK (2006) Genetic diversity and recombination within populations of *Fusarium pseudograminearum* from western Canada. *Int Microbiol* 9, 65-68.
- Mohammadabadi MR, Askari N (2012) Characterization of Genetic structure using ISSR-PCR markers: cattle, goat and sheep populations. LAP LAMBERT Academic Publishing, Saarbrücken, Germany, 120pp.
- Mohammadabadi MR, Esfandyarpoor E, Mousapour A (2017) Using Inter Simple Sequence Repeat Multi-Loci Markers for Studying Genetic Diversity in Kermani Sheep. *J Res Develop* 5 (2), e154.
- Mohammadabadi MR, Oleshko V, Oleshko O, et al. (2021) Using Inter Simple Sequence Repeat Multi-Loci Markers for Studying Genetic Diversity in Guppy Fish. *Turk J Fish Aquatic Sci* 21 (12), 603-613.
- Nagarajan G, Nam MH, Song JY et al. (2004) Genetic Variation in *Fusarium oxysporum* f. sp. *fragariae* populations based on RAPD and rDNA RFLP analyses. *J Plant Pathol* 20(4), 264-270.
- Namiki F, Shiomi T, Kayamura T, Tsuge T. (1994) Characterization of the Formae Speciales of *Fusarium oxysporum* Causing Wilts of Cucurbits by DNA Fingerprinting with Nuclear Repetitive DNA Sequences. *Appl Environ Microbiol* 60, 2684-2691.
- Nelson PE, Toussoun TA, Marasas WFO (1983) *Fusarium* species. An illustrated manual for identification. Pennsylvania State University Press, University Park, Philadelphia. Pp. 193.
- Pivonia S, Cohen R, Kafkafi U et al. (1997) sudden wilt of melons in southern Israel: fungal agents and relationship with plant development. *Plant Dis* 81, 1264–1268.
- Rabbaninasab H, Sarvary S, Bakhshi khaniki Gh (2013) Determination of genetic variability of *Fusarium oxysporum* f.sp. *melonis* isolates in Khorasan Razavi province by AFLP molecular marker. *J Iran Biol* 26, 18-27 (In Persian).
- Rakhonde PN, Mane SS, Gawande AD et al. (2017) Molecular diversity in Indian isolates of *Fusarium oxysporum* f.sp. *ciceri* by ISSR analysis. *J Pharmacogn Phytochem* SP1, 195-201.

- Shahnazi S, Meon S, Vadmalai G et al. (2014) Genetic Diversity of *Fusarium solani* Isolates from Black Pepper (*Piper nigrum* L.) in Malaysia by ISSR marker. Trop Agric Sci 37(3), 363–374.
- Thangavelu RK, Muthu Kumar KP, Ganga Devi P, Mustaffa MM (2012) Genetic Diversity of *Fusarium oxysporum* f.sp. *cubense* (FOC) Isolates of India by Inter Simple Sequence Repeats (ISSR) Analysis. Mol Biotech 51, 203–211.
- Zamani P, Akhondi M, Mohammadabadi MR, et al. (2011) Genetic variation of Mehraban sheep using two inter-simple sequence repeat (ISSR) markers. Afr J Biotechnol 10, 1812–1817.
- Zamani P, Akhondi M, Mohammadabadi MR (2015) Associations of Inter-Simple Sequence Repeat loci with predicted breeding values of body weight in Sheep. Small Rumin Res 132, 123–127.
- Zietkiewicz E, Rafalski A, Labuda D (1994) Genome fingerprinting by simple sequence repeat (SSR)-anchored polymerase chain reaction amplification. Genomics 20(2), 176-183.